

МИНИСТЕРСТВО ОБРАЗОВАНИЯ И НАУКИ

ГОСУДАРСТВЕННОЕ ОБРАЗОВАТЕЛЬНОЕ УЧРЕЖДЕНИЕ
ВЫСШЕГО ПРОФЕССИОНАЛЬНОГО ОБРАЗОВАНИЯ
«МОСКОВСКИЙ ФИЗИКО-ТЕХНИЧЕСКИЙ ИНСТИТУТ
(ГОСУДАРСТВЕННЫЙ УНИВЕРСИТЕТ)»

КАФЕДРА ТЕОРЕТИЧЕСКОЙ АСТРОФИЗИКИ И
КВАНТОВОЙ ТЕОРИИ ПОЛЯ

**Солитон на доменной стенке
и спин-орбитальное взаимодействие**

(выпускная квалификационная работа бакалавра)

Выполнила:
студентка 121 группы
Блянкинштейн Наталья Игоревна

Научный руководитель:
д.ф.-м.н., проф. Горский А.С.

Москва
2015

Содержание

1	Введение	3
2	Постановка задачи	4
2.1	Модель	4
2.2	Q-лампы	5
2.3	Доменная стенка	7
2.4	Спин-орбитальное взаимодействие	8
3	Методы исследования	10
3.1	Теория возмущений	11
3.2	Адиабатическое приближение	12
4	Результаты	14
5	Заключение	16
6	Список литературы	17

1 Введение

Топологические дефекты (солитоны) возникают во многих задачах теории поля, космологии, теории конденсированного состояния. Особый интерес представляют модели, в которых присутствуют дополнительные неабелевы внутренние степени свободы, локализованные на солитонах: стенках, струнах, монополях и т.п. Примерами таких работ являются [1]–[6]. Следующим возможным шагом является изучение теорий с солитонами на солитонах: в данной работе — Q-лампов на доменной стенке.

Q-лампами называются решения нелинейной $O(3)$ σ -модели с дополнительным потенциальным членом некоторого вида. Эти солитоны были обнаружены Р. Лизом [7] и имеют одновременно ненулевые топологический и нётеровский заряды. Свойства таких конфигураций существенно отличаются от решений "чистой" σ -модели даже при малой константе связи у доп. потенциала, то есть в случае малого возмущения. Механизм их построения был обобщен на произвольные σ -модели Е. Абрахамом [8]. Достижение же Р. Лиза состоит в том, что ему удалось найти явный вид решений для $O(3)$ σ -модели со специально выбранным потенциалом, а также исследовать устойчивость и рассеяния этих солитонов.

Одной из особенностей Q-лампов является тот факт, что в этой модели существуют стационарные многосолитонные решения, которые можно интерпретировать как невзаимодействующие частицы (это верно для неподвижной изначально конфигурации). Вопрос, на который отвечает данная работа, поставлен так: появится ли взаимодействие, и если да, то какое, если добавить в среде (в балке, во всем пространстве) спин-орбитальное взаимодействие.

2 Постановка задачи

2.1 Модель

Рассматривается модель со скалярными полями $\phi \in \mathfrak{R}$ и $\chi_i \in \mathfrak{R}$, $i = 1, 2, 3$ в 3+1-мерном пространстве-времени, допускающая существование доменной стенки и неабелевых внутренних степеней свободы, локализованных на ней. Лагранжиан такой теории

$$\mathcal{L} = \mathcal{L}_\phi + \mathcal{L}_\chi, \quad (2.1)$$

$$\mathcal{L}_\phi = \frac{1}{2} \partial_\mu \phi \partial^\mu \phi - \lambda(\phi^2 - v^2)^2, \quad (2.2)$$

$$\mathcal{L}_\chi = \frac{1}{2} \partial_\mu \chi_i \partial^\mu \chi_i - \gamma((\phi^2 - \mu^2)\chi_i \chi_i + \beta(\chi_i \chi_i)^2) - \frac{1}{2} \alpha^2 (\chi_i \chi_i - \chi_3 \chi_3). \quad (2.3)$$

Для построения доменной стенки будем искать решения с разделенными переменными в виде $\phi = \phi(x_3)$, $\chi_i = \chi(x_3) S_i(t, x, y)$, где $S_i S_i = 1$, и поле S_i будет соответствовать O(3) σ -модели. В этом случае лагранжиан приобретает вид

$$\begin{aligned} \mathcal{L} &= \mathcal{L}_\phi + \frac{1}{2} \chi^2 \partial_p S_i \partial^p S_i - \frac{1}{2} (\chi')^2 - \gamma((\phi^2 - \mu^2)\chi^2 + \beta\chi^4) - \frac{1}{2} \alpha^2 \chi^2 (1 - S_3^2) = \\ &= \mathcal{L}_{wall} + 2\chi^2 \mathcal{L}_{lump}, \end{aligned} \quad (2.4)$$

где $p = 0, 1, 2$, штрихом обозначено дифференцирование по координате x_3 и

$$\mathcal{L}_{lump} = \frac{1}{4} \partial_p S_i \partial^p S_i - \frac{1}{4} \alpha^2 (1 - S_3^2). \quad (2.5)$$

Можно выписать уравнения движения для действия (2.1):

$$\phi'' = 4\lambda(\phi^2 - v^2)\phi + 2\gamma\chi^2\phi, \quad (2.6)$$

$$\chi'' - 2\gamma(\phi^2 - \mu^2)\chi - 4\beta\gamma\chi^3 + 4\chi\mathcal{L}_{lump} = 0, \quad (2.7)$$

$$\partial_p \partial^p u - \frac{2u^* \partial_p u \partial^p u}{1 + uu^*} + \frac{\alpha^2 u (1 - uu^*)}{1 + uu^*} = 0. \quad (2.8)$$

Рассмотрим роль отдельных членов лагранжиана.

2.2 Q-лампы

Действие в трёхмерном пространстве-времени с лагранжианом (2.5) подробно исследовал Роберт Лиз в работе [7]: ему удалось найти явный вид солитонных решений, имеющих одновременно топологический и нётеровский заряды, причем первый связан с гомотопической группой $\pi_2(S^2) = \mathbb{Z}$, а последний с равномерным вращением во внутреннем пространстве (вокруг направления S_3 ; вообще говоря, потенциальное слагаемое нарушает $O(3)$ симметрию модели до $O(2)$). Такие солитоны получили название "Q-ламп" (англ. "Q-lumps") по аналогии с "Q-шарами" Коулмана [9]. Они не запрещены теоремой Деррика (см., например, [10]), так как не являются статическими и стабилизированы наличием заряда. Выпишем явно эти решения и некоторые их свойства.

Для удобства перейдем от действительных полей S_i к комплексным u , u^* с помощью стереографической проекции: $u = \frac{S_1 + iS_2}{1 - S_3}$, тогда

$$\mathcal{L}_{lump} = \frac{\partial_p u \partial^p u^*}{(1 + uu^*)^2} - \frac{\alpha^2 uu^*}{(1 + uu^*)^2}. \quad (2.9)$$

Выражения для топологического, нётеровского зарядов и полной энергии выглядят как

$$N = \frac{1}{4\pi} \int \vec{S} \cdot [\partial_x \vec{S} \times \partial_y \vec{S}] d^2x = \frac{i}{2\pi} \int \frac{\partial_x u^* \partial_y u - \partial_x u \partial_y u^*}{(1 + uu^*)^2} d^2x, \quad (2.10)$$

$$Q = \int \frac{1}{2} (S_2 \partial_t S_1 - S_1 \partial_t S_2) d^2x = i \int \frac{u^* \partial_t u - u \partial_t u^*}{(1 + uu^*)^2} d^2x, \quad (2.11)$$

$$\mathcal{E}_{lump} = \int \frac{\partial_t u \partial_t u^* + \partial_i u \partial_i u^* + \alpha^2 uu^*}{(1 + uu^*)^2} d^2x \quad (2.12)$$

и связаны соотношением Богомольного

$$\mathcal{E}_{lump} \geq 2\pi |N| + |\alpha Q|. \quad (2.13)$$

Таким образом, конфигурации, лежащие на границе имеют наименьшую энергию в секторе с заданными зарядами, и за счет сохранения зарядов классически устойчивы. Эта граница достигается при следующих условиях:

$$\partial_i u \pm i \varepsilon_{ij} \partial_j u = 0 \quad \text{и} \quad \partial_t u \pm i \alpha u = 0, \quad (2.14)$$

что сразу дает явный вид решений:

$$u(t, x, y) = u_0(x, y) e^{\pm i \alpha t}, \quad u_0(x, y) = u_0(x \pm iy), \quad (2.15)$$

причем для конечности энергии следует также потребовать, чтобы функция $u_0(z = x + iy)$ была (анти-)рациональной. В этом случае степень

функции задает топологический заряд N конфигурации, а нётеровский заряд Q принимает конечное значение при $|N| \geq 2$.

Так, например, $u(t, z = x + iy) = \left(\frac{\lambda}{z}\right)^k e^{i\alpha t}$ – радиально симметричный солитон с топ. зарядом k , а анзац $u(t, z) = \frac{\beta z + \gamma}{z^2 + \delta z + \epsilon} e^{i\alpha t}$ содержит в себе все решения с топ. зарядом 2. Конфигурации, имеющие несколько достаточно удаленных друг от друга полюсов, можно интерпретировать как многочастичные и исследовать процессы рассеяния на пространстве модулей в пределе низких энергий, аналогично работам [12], [13], изучающим рассеяние монополей и вихрей, а особенно [14] и [15] о солитонах $O(3)$ σ -модели.

2.3 Доменная стенка

Член $\mathcal{L}_{wall} = -\frac{1}{2}(\phi')^2 - \lambda(\phi^2 - v^2)^2 - \frac{1}{2}(\chi')^2 - \gamma((\phi^2 - \mu^2)\chi^2 + \beta\chi^4)$ позволяет составить статичную доменную стенку из полей $\phi(x_3)$ и $\chi(x_3)$: так, видно, что при $\chi(x_3) = 0$ решением уравнения движения (2.6) для $\phi(x_3)$ является обычный кинк $\phi(x_3) = -v \tanh \frac{m_\phi}{2}(x_3 - x_{30})$, однако такая конфигурация неустойчива ([2]). Устойчивая же будет иметь ненулевое ожидаемое значение $\sqrt{\frac{\mu^2}{2\beta}}$ внутри стенки (вблизи $x_3 = x_{30}$). Профили функций $\phi(x_3)$, $\chi(x_3)$, изображенные на рис. 2.1, 2.2, были получены численно в этой же работе [2] для некоторого выбора параметров $v, \lambda, \mu, \gamma, \beta$ лагранжиана \mathcal{L}_{wall} .

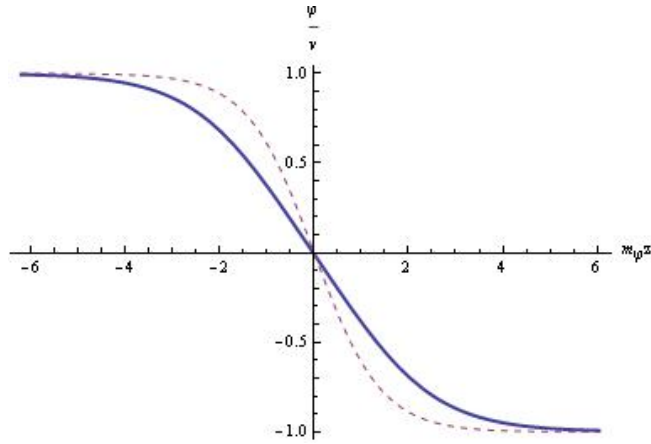


Рис. 2.1: Численное решение $\phi(z)$

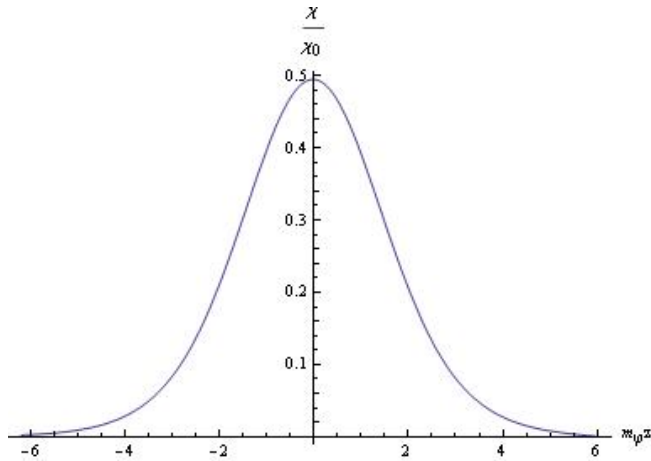


Рис. 2.2: Численное решение $\chi(z)$

Вместе с полем $\chi(x_3)$ поля S_i также оказываются локализованными на стенке вблизи поверхности $x_3 = x_{30}$ и, таким образом, описывают эффективную двумерную (точнее говоря, 2+1-мерную) теорию на доменной стенке.

2.4 Спин-орбитальное взаимодействие

Теперь добавим в балк спин-орбитальное взаимодействие (подробно о причинах возникновения этого члена см., например, [11]). Оно нарушает лоренц-инвариантность лагранжиана, приводит к запутыванию полей χ_i и координат и эффективно выражается слагаемым

$$\mathcal{L}_{so} = -\varepsilon(\partial_i \chi_i)^2 \quad (2.16)$$

или, в случае разделения переменных $\chi_i = \chi(z)S_i(t, x, y)$,

$$\mathcal{L}_{so} = -\varepsilon(\chi'^2(\frac{uu^* - 1}{1 + uu^*})^2 + 2\chi' \frac{uu^* - 1}{1 + uu^*} \chi \partial_k S_k + \chi^2 (\partial_k S_k)^2), \quad (2.17)$$

где

$$\partial_k S_k = \frac{1}{(1 + uu^*)^2} (\partial_x u(1 - u^{*2}) + \partial_x u^*(1 - u^2) - i\partial_y u(1 + u^{*2}) + i\partial_y u^*(1 + u^2)). \quad (2.18)$$

Получим эффективное действие для теории на стенке с учетом этого слагаемого. Для этого нужно проинтегрировать (2.1) + (2.17) по x_3 . Тогда в 2+1-мерии получаем

$$\mathcal{L}_{eff} = A \left(\frac{\partial_p u \partial^p u^*}{(1 + uu^*)^2} - \frac{\alpha^2 uu^*}{(1 + uu^*)^2} \right) - \varepsilon \left(B \left(\frac{uu^* - 1}{1 + uu^*} \right)^2 + C \frac{uu^* - 1}{1 + uu^*} \partial_k S_k + D (\partial_k S_k)^2 \right), \quad (2.19)$$

где введены постоянные

$$A = \int 2\chi^2 dx_3, \quad (2.20)$$

$$B = \int (\chi')^2 dx_3, \quad (2.21)$$

$$C = \int 2\chi' \chi dx_3, \quad (2.22)$$

$$D = \int \chi^2 dx_3 = \frac{1}{2}A, \quad (2.23)$$

и, в случае когда стенка (функция $\chi(x_3)$) симметрична,

$$C = 0. \quad (2.24)$$

После деления на константу

$$\begin{aligned} \mathcal{L}_{eff} &= \frac{\partial_p u \partial^p u^*}{(1 + uu^*)^2} - \frac{\alpha^2 uu^*}{(1 + uu^*)^2} - \varepsilon \left(\frac{B}{A} \left(\frac{uu^* - 1}{1 + uu^*} \right)^2 + \frac{1}{2} (\partial_k S_k)^2 \right) = \\ &= \frac{1}{4} \partial_p S_i \partial^p S_i - \frac{1}{4} \alpha^2 (1 - S_3^2) - \varepsilon \left(\frac{B}{A} S_3^2 + \frac{1}{2} (\partial_k S_k)^2 \right) \end{aligned} \quad (2.25)$$

и, с точностью до постоянного слагаемого,

$$\mathcal{L}_{eff} = \frac{1}{4} \partial_p S_i \partial^p S_i - \frac{1}{4} \alpha'^2 (1 - S_3^2) - \frac{\varepsilon}{2} (\partial_k S_k)^2 = \frac{\partial_p u \partial^p u^*}{(1 + uu^*)^2} - \frac{\alpha'^2 uu^*}{(1 + uu^*)^2} - \frac{\varepsilon (\partial_x u (1 - u^{*2}) + \partial_x u^* (1 - u^2) - i \partial_y u (1 + u^{*2}) + i \partial_y u^* (1 + u^2))^2}{2 (1 + uu^*)^4}. \quad (2.26)$$

Таким образом, из трех слагаемых в (2.17) первое приводит к поправке α

$$\alpha \rightarrow \alpha' = \sqrt{\alpha^2 - 4\varepsilon \frac{B}{A}}, \quad (2.27)$$

второе уходит из-за симметрии и только третий член может существенно поменять поведение системы.

3 Методы исследования

Для нахождения эффектов взаимодействия Q-ламп рассмотрим двухчастичное решение невозмущенной (без спин-орбитального взаимодействия) теории. Двухчастичные конфигурации соответствуют решениям с топологическим зарядом 2:

$$u_0(t, z = x + iy) = \frac{\gamma}{z^2 + \epsilon} e^{i\alpha't} = \frac{\gamma}{i\sqrt{\epsilon}} \left(\frac{1}{z - i\sqrt{\epsilon}} - \frac{1}{z + i\sqrt{\epsilon}} \right) e^{i\alpha't}. \quad (3.1)$$

Здесь комплексные параметры γ и ϵ задают размер частиц $\left(\frac{|\gamma|}{2\sqrt{|\epsilon|}} \right)$ и расстояние между ними $\left(2\sqrt{|\epsilon|} \right)$.

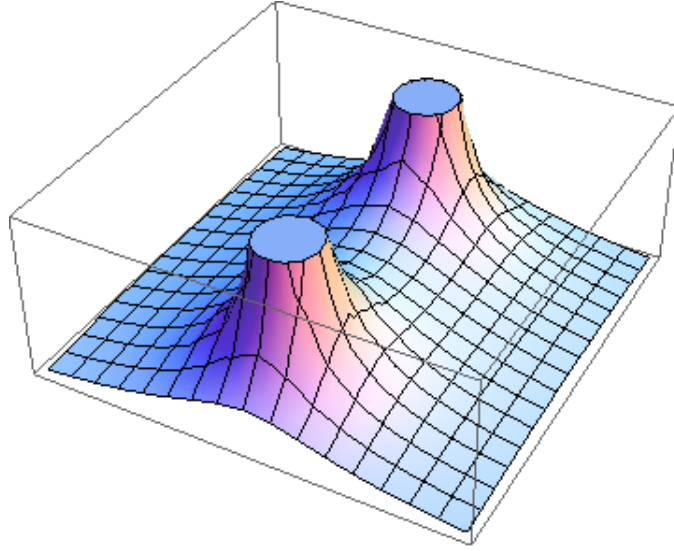


Рис. 3.1: $|u_0(t, z)|$, двухчастичная конфигурация

3.1 Теория возмущений

Найдем поправку к ангазу (3.1) по теории возмущений, считая константу связи ϵ малой. Для упрощения вычислений будем считать параметры $\gamma, \epsilon \in \mathfrak{R}$, что соответствует частицам (полюсам конфигурации), расположенным на оси y . Уравнение на первую поправку имеет следующий вид:

$$\begin{aligned}
& -\frac{32\gamma^3 e^{i\alpha't} (x^2 + y^2) (-\gamma^2 + \zeta)}{\zeta^3 (\epsilon + (x + iy)^2)} - \\
& -\frac{8\gamma e^{-i\alpha't} (\gamma^2 + (\epsilon + (x + iy)^2) (\epsilon - 3(x - iy)^2))}{(\epsilon + (x - iy)^2)^2 \zeta} \\
& + \frac{8\gamma^3 e^{3i\alpha't} (\gamma^2 + (\epsilon - 3(x + iy)^2) (\epsilon + (x - iy)^2))}{\zeta (\epsilon + (x + iy)^2)^4} \\
& -\alpha'^2 \left(1 - \frac{3\gamma^6 + 5\gamma^4\zeta + \gamma^2\zeta^2}{\zeta^3} \right) u - \frac{(\gamma^2 + \zeta)^3}{\zeta^3} \partial_t^2 u + \frac{4i\alpha'\gamma^2 (\gamma^2 + \zeta)^2}{\zeta^3} \partial_t u + \\
& + \frac{(\gamma^2 + \zeta)^3}{\zeta^3} (\partial_y^2 u + \partial_x^2 u) + \frac{8\gamma^2(x + iy) (\gamma^2 + \zeta)^2}{\zeta^3 (\epsilon + (x + iy)^2)} (\partial_x u + i\partial_y u) = 0,
\end{aligned} \tag{3.2}$$

где введено обозначение

$$\zeta = |(x + iy)^2 + \epsilon|^2 = \frac{\gamma^2}{u_0 u_0^*}. \tag{3.3}$$

В случае удаленных частиц ($\gamma \ll \epsilon$) можно разложить уравнение по степеням $\frac{\gamma^2}{\zeta}$, что в лидирующем порядке приводит к

$$-\frac{8\gamma e^{-i\alpha't} (\epsilon - 3(x - iy)^2)}{(\epsilon + (x - iy)^2)^3} - \alpha'^2 u - \partial_t^2 u + (\partial_y^2 u + \partial_x^2 u) = 0 \tag{3.4}$$

и дает асимптотику первой поправки на пространственной бесконечности, т.е. вдали от частиц:

$$u_1(t, \bar{z}) = -\frac{2i\gamma e^{-i\alpha't} (2\alpha't - i) (\epsilon - 3\bar{z}^2)}{\alpha'^2 (\epsilon + \bar{z}^2)^3}. \tag{3.5}$$

Следует отметить следующие свойства найденной поправки: во-первых, она нарушает аналитичность решения; во-вторых, фаза вращается в обратном направлении; и в-третьих, виден линейный рост со временем, что соответствует увеличивающимся в размерах частицам.

3.2 Адиабатическое приближение

Скажем теперь, что параметры (модули) $\gamma = G(t)e^{i\phi(t)}$, $\epsilon = E(t)e^{i\theta(t)}$ анзаца (3.1) медленно зависят от времени. Тогда эффективное действие для такой четырехмерной динамической системы после интегрирования по x , y запишется в следующем виде (здесь и далее будем обозначать α' просто α ; в самом же анзаце пусть вращение с постоянной скоростью α' включено в определение $\phi(t)$):

$$S = \int dt \left(-4\pi + f(E, G) \left(\dot{G}^2 + G^2(\dot{\phi}^2 - \alpha^2) \right) + \right. \\ \left. + g(E, G) \left(\dot{E}^2 + E^2\dot{\theta}^2 \right) + 2h(E, G) \left(\dot{G}\dot{E} + EG\dot{\theta}\dot{\phi} \right) - \frac{\epsilon}{2}V_{so} \right), \quad (3.6)$$

где введены обозначения

$$f(E, G) = \frac{\pi}{2\sqrt{E^2 + G^2}} (2K(k) - J(k)), \quad (3.7)$$

$$g(E, G) = \frac{\pi}{2\sqrt{E^2 + G^2}} (J(k)), \quad (3.8)$$

$$h(E, G) = \frac{\pi}{2\sqrt{E^2 + G^2}} \frac{G}{E} (J(k) - K(k)), \quad (3.9)$$

$$k = \frac{E}{\sqrt{E^2 + G^2}}, \quad (3.10)$$

$$V_{so} = \int_0^\infty d\xi \int_0^{2\pi} d\psi 32(1 - k^2)\xi \left(\frac{\xi^2 \cos(2\psi - \phi)}{(1 + \xi^2 + 2k\xi \cos(2\psi - \theta))^2} + \right. \\ \left. + \frac{2k\xi \cos(\psi + \theta - \phi) + k^2 \cos(\psi + \phi - 2\theta)}{(1 + \xi^2 + 2k\xi \cos(2\psi - \theta))^2} \right)^2, \quad (3.11)$$

а функции $K(k)$, $J(k)$ — полные эллиптические интегралы 1-го и 2-го рода соответственно. Отсюда получаем явный вид уравнений движения:

$$\ddot{G} = \frac{1}{2\Delta} \left(\frac{\dot{G}^2}{G} (f_4 + f_3 - f_2) + f_2 \left(\frac{2\dot{E}\dot{G}}{E} - \frac{G\dot{E}^2}{E^2} + G\dot{\theta}(\dot{\theta} - 2\dot{\phi}) \right) + \right. \\ \left. + f_1 G (\dot{\phi}^2 - \alpha^2) \right) + \frac{E^2 + G^2}{2\Delta} ((K(k) - J(k))EG\mathbf{I}_2 + J(k)E^2\mathbf{I}_1), \quad (3.12)$$

$$\ddot{E} = \frac{1}{2\Delta} \left(\frac{\dot{E}^2}{E} (f_1 + f_3 - f_2) + f_3 \left(\frac{E\dot{G}^2}{G^2} - \frac{2\dot{E}\dot{G}}{G} + E(2\dot{\theta}\dot{\phi} + \alpha^2 - \dot{\phi}^2) \right) + \right. \\ \left. + f_4 E \dot{\theta}^2 \right) + \frac{E^2 + G^2}{2\Delta} ((2K(k) - J(k))E^2\mathbf{I}_2 + (K(k) - J(k))EG\mathbf{I}_1), \quad (3.13)$$

$$\ddot{\theta} = \frac{1}{\Delta} \left(f_3 \left(\frac{\dot{G}}{G}(\dot{\phi} - \dot{\theta}) - \frac{\dot{E}\dot{\phi}}{E} \right) - f_4 \frac{\dot{E}\dot{\theta}}{E} \right) + \frac{E^2 + G^2}{2\Delta} ((K(k) - J(k))\mathbf{I}_4 + (2K(k) - J(k))\mathbf{I}_3), \quad (3.14)$$

$$\ddot{\phi} = \frac{1}{\Delta} \left(f_2 \left(\frac{\dot{E}}{E}(\dot{\phi} - \dot{\theta}) + \frac{\dot{G}\dot{\theta}}{G} \right) - f_1 \frac{\dot{G}\dot{\phi}}{G} \right) + \frac{E^2 + G^2}{2\Delta} \left(J(k) \frac{E^2}{G^2} \mathbf{I}_4 + (K(k) - J(k))\mathbf{I}_3 \right), \quad (3.15)$$

где в свою очередь

$$f_1 = J^2(k) (E^2 + G^2) (4E^2 + G^2) - 2J(k)K(k) (2E^4 + 4G^2E^2 + G^4) + K^2(k) (2E^2 + G^2) G^2, \quad (3.16)$$

$$f_2 = 3J^2(k) (E^2 + G^2) E^2 - 2J(k)K(k) (E^2 + 2G^2) E^2 + K^2(k)G^2E^2, \quad (3.17)$$

$$f_3 = J^2(k) (E^2 + G^2) G^2 - 2J(k)K(k)G^4 + K^2(k)G^4, \quad (3.18)$$

$$f_4 = J^2(k) (E^2 + G^2) E^2 - 2J(k)K(k) (E^2 + 2G^2) E^2 + K^2(k)E^2G^2, \quad (3.19)$$

$$\Delta = f_3 + f_4, \quad (3.20)$$

$$\mathbf{I}_1 = \frac{\varepsilon}{\pi} \sqrt{E^2 + G^2} \frac{\partial V_{so}}{\partial G} = \frac{\varepsilon}{\pi} \sqrt{E^2 + G^2} \frac{\partial V_{so}}{\partial k} \frac{\partial k}{\partial G}, \quad (3.21)$$

$$\mathbf{I}_2 = \frac{\varepsilon}{\pi} \sqrt{E^2 + G^2} \frac{\partial V_{so}}{\partial E} = \frac{\varepsilon}{\pi} \sqrt{E^2 + G^2} \frac{\partial V_{so}}{\partial k} \frac{\partial k}{\partial E}, \quad (3.22)$$

$$\mathbf{I}_3 = \frac{\varepsilon}{\pi} \sqrt{E^2 + G^2} \frac{\partial V_{so}}{\partial \theta}, \quad (3.23)$$

$$\mathbf{I}_4 = \frac{\varepsilon}{\pi} \sqrt{E^2 + G^2} \frac{\partial V_{so}}{\partial \phi}. \quad (3.24)$$

Уравнения (3.12)–(3.15) можно решать численно. При этом $\gamma(0), \epsilon(0)$ задают начальную конфигурацию, $\gamma(\dot{0}), \epsilon(\dot{0})$ — малое возмущение. В нашем случае $\dot{G}, \dot{E}, \dot{\theta} = 0, \dot{\phi} = \alpha$. Уравнения были решены методом Рунге-Кутты 4-го порядка для следующих значений параметров: константы связи $\alpha = 0.03$, $\varepsilon = 0.1$, размер частиц $\frac{G}{2\sqrt{E}} = 1$, расстояние между частицами $2\sqrt{E} = 50$. При этом интегралы \mathbf{I}_1 – \mathbf{I}_4 также считались численно.

4 Результаты

Были обнаружены несколько эффектов, которые спин-орбитальное взаимодействие оказывает на двухчастичное решение.

1. Увеличение размера Q-лампов: этот эффект согласуется с ростом, найденным по теории возмущений.

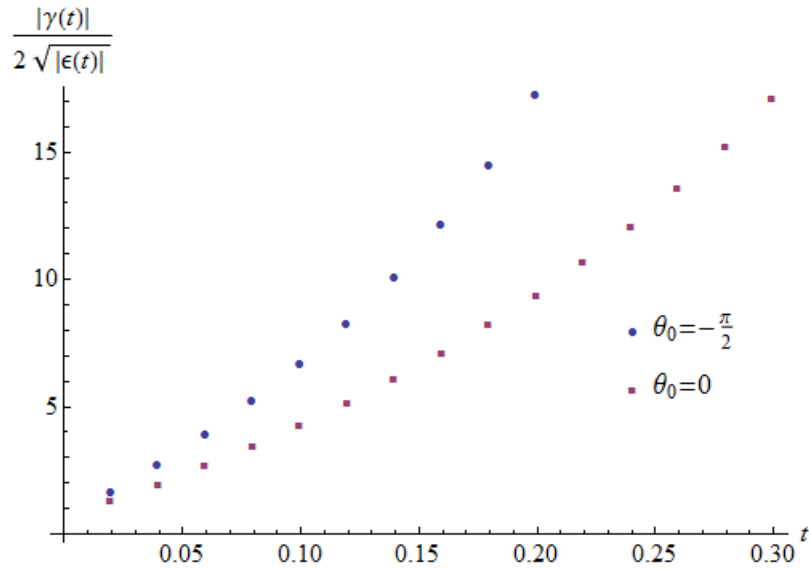


Рис. 4.1: Эволюция размера частиц

2. Сближение: расстояние между частицами сокращается, чего не было видно из поправки (3.5). Этот факт, однако, объясняется тем, что выражение (3.5) дает только асимптотику на пространственной бесконечности, которая остается неизменной.

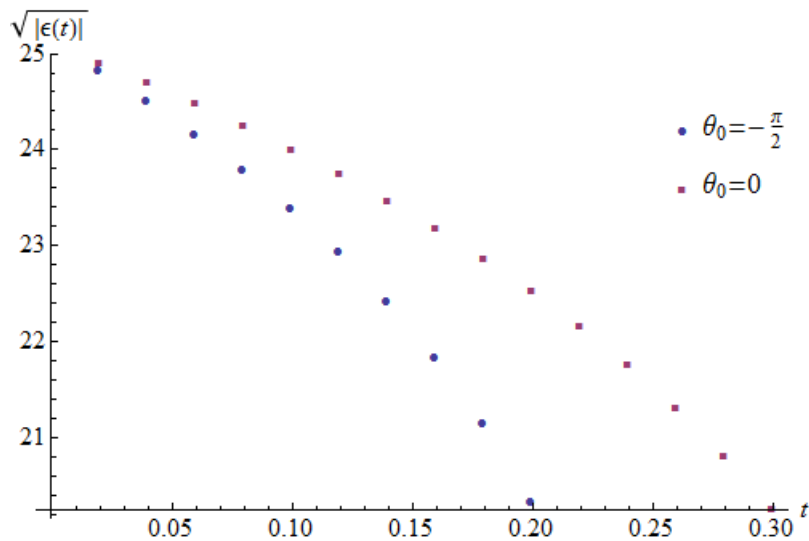


Рис. 4.2: Изменение расстояния между частицами

3. Зависимость от фаз: на рис. 4.1, 4.2 изображены численные решения для двух различных значений параметра $\theta_0 = -\frac{\pi}{2}$ и $\theta_0 = 0$, который задает начальное расположение Q-лампов. Первое значение соответствует частицам на действительной оси, второе — на мнимой. Хотя качественно поведение системы остается тем же, видно, что скорости процессов значительно зависят от этого параметра. Таким образом, в отличие от функций (3.7)-(3.9), которые не зависели от фаз θ , ϕ и позволяли в отсутствие спин-орбитального взаимодействия при тех же начальных условиях на фазы ($\dot{\theta}(0) = 0$, $\dot{\phi}(0) = \alpha$) рассматривать только эволюцию $G(t)$, $E(t)$, добавление \mathcal{L}_{so} приводит к появлению такой зависимости. На рис. 4.3 можно увидеть, как потенциал $V_{so}(k)$ зависит от фаз: действительно, для любых фиксированных θ , ϕ профиль $V_{so}(k)$ качественно остается тем же и приводит к увеличению и сближению частиц.

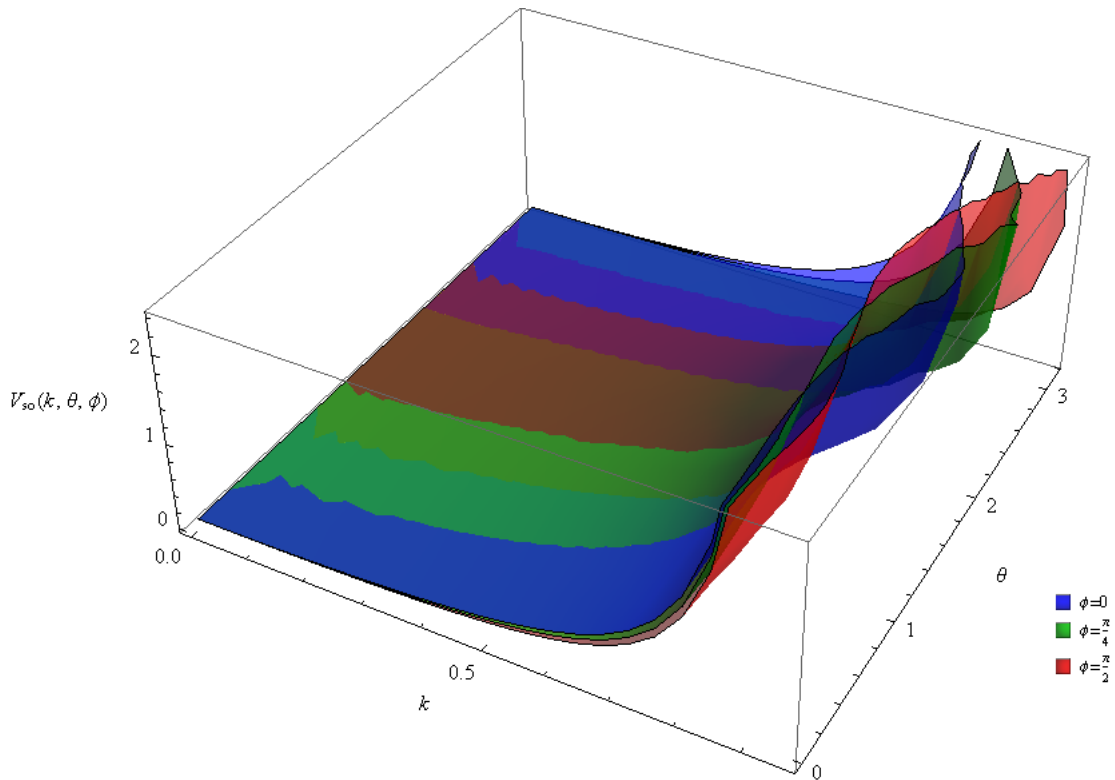


Рис. 4.3: Потенциал спин-орбитального взаимодействия $V_{so}(k, \theta, \phi)$

5 Заключение

В настоящей работе рассматривалась $O(3)$ σ -модель с дополнительным потенциальным членом на доменной стенке в $3+1$ -мерном пространстве-времени, допускающая солитонные решения (Q -лампы) и исследовались эффекты, оказываемые наличием спин-орбитального взаимодействия в балке, на двухчастичную конфигурацию.

С помощью теории возмущения была найдена асимптотика на пространственной бесконечности первой поправки к двухсолитонному анзацу; с помощью адиабатического приближения было численно смоделировано поведение изначально покоящихся Q -ламп. Этими средствами было обнаружено, что в присутствии спин-орбитального взаимодействия Q -лампы начинают взаимодействовать: увеличиваются в размерах и притягиваются; запутывание же между внутренними степенями свободы и координатами приводит к появлению зависимости от фаз конфигурации.

6 Список литературы

- [1] M. Shifman, G. Tallarita, A. Yung, *'t Hooft-Polyakov Monopoles with Non-Abelian Moduli*, arXiv 1503.08684, (2015)
- [2] E. Kurianovych and M. Shifman, *Non-Abelian Moduli on Domain Walls*, Int. J. Mod. Phys. A **29**, 1450193 (2014)
- [3] M. Shifman and A. Yung, *Abrikosov-Nielsen-Olesen string with Non-Abelian Moduli and Spin-Orbit Interaction*, Phys. Rev. Lett. **110**, 201602 (2013)
- [4] M. Shifman, G. Tallarita, A. Yung, *More on the Abrikosov Strings with Non-Abelian Moduli*, Int. J. Mod. Phys. A **29** (2014) 1450062
- [5] S. Monin, M. Shifman, A. Yung, *Calculating Extra (Quasi)Moduli on the Abrikosov-Nielsen-Olesen string with Spin-Orbit Interaction*, Phys. Rev. D **88** 025011 (2013)
- [6] M. Shifman, *Simple Models with Non-Abelian Moduli on Topological Defects*, Phys. Rev. D **87**, 025025 (2013)
- [7] R.A. Leese, *Q-Lumps and their interactions*, Nucl. Phys. B **366**, (1991) 283-314
- [8] E. Abraham, *Non-linear sigma models and their Q-lump solutions*, Phys. Lett. B **278** (1992) 291-296
- [9] S. Coleman, *Q-Balls*, Nucl. Phys. B **262** (2): 263 (1985)
- [10] G.H. Derrick, *Comments on nonlinear wave equations as models for elementary particles*, J. Mathematical Phys. **5**: 1252-1254 (1964)
- [11] M. Nitta, M. Shifman, W. Vinci, *Non-Abelian Quasi-Gapless Modes Localized on Mass Vortices in Superfluid $^3\text{He-B}$* , Phys. Rev. D **87**, 081702 (2013)
- [12] M.F. Atiyah and N.J. Hitchin, *Low energy scattering of nonabelian monopoles*, Phys. Lett. A **107** (1985) 21
- [13] P.J. Ruback, *Motion in the Abelian Higgs Model*, Nucl. Phys. B **296** (1988) 669
- [14] R.A. Leese, *Low energy scattering of solitons in the CP1 model*, Nucl. Phys. B **344** (1990) 33
- [15] R.S. Ward, *Slowly moving lumps in the CP1 model in (2+1) dimensions*, Phys. Lett. B **158** (1985) 424